

มหาวิทยาลัยบูรพา
Burapha University

ภาคผนวก

ภาคผนวก ก

สมบัติต่าง ๆ ของฟิล์มไททาเนียมไดออกไซด์และมาตรฐานการเลี้ยวเบนรังสีเอกซ์ของ
ไฮดรอกซีอะพาไทต์

สมบัติต่าง ๆ ของฟิล์มไททาเนียมไดออกไซด์แสดงดังต่อไปนี้

	Rutile TiO ₂	Anatase TiO ₂	Brookite TiO ₂
Form.Wt.	79.890	79.890	79.890
Z	2	4	8
CrystalSystem	Tet	Tet	Orth
PointGroup	4/mmm	4/mmm	m3m
SpaceGroup	P4 ₂ /mnm	I4 ₁ /amd	Pbca
UnitCell			
a(Å)	4.5845	3.7842	9.184
b(Å)			5.447
c(Å)	2.9533	9.5146	5.145
Vol	62.07	136.25	257.38
MolarVol	18.693	20.156	19.377
Density	4.2743	3.895	4.123
Thermal Expansion(Volumetric)			
alpha	28.9		
a ₀	0.2890		

Crystal properties

Crystal growth method:	Verneuil-method
Crystal growth orientation:	(001), (110)
Maximum size:	Up to Ø 1.25 inch * 2 inch length (conical)
Variations:	Doped crystals (on request)

Crystallographic properties

Crystallographic structure:	Tetragonal a = b = 4.593 Å c=2.959 Å
Twinning structure:	Type a) Optical grade Grain boundary Free Type b) Electronic grade with low angle grain boundaries
Color:	Slight yellow, transparent

Physical properties

Density:	4.26 g/cm ³
Melting point:	1825 °C
Hardness:	6.5-7.0 (Mohs)
Thermal expansion coefficient:	9.943 * 10 ⁻⁶ K ⁻¹ c-axis 7.192 * 10 ⁻⁶ K ⁻¹ normal c-axis
Dielectric constant:	190 c-axis 85 normal c-axis
Dielectric loss tangent:	»17 * 10 ⁻³
Specific resistivity:	>10 ¹³ Wcm

Optical properties

Transmission range:	0.42 to 6.0 μm
Refractive index:	n _o = 2.613 Ordinary ray n _e = 2.909 Extraordinary ray
Dispersion (n _e - n _o):	0.164 Ordinary ray 0.207 Extraordinary ray
Birefringence (n _o - n _e):	Strong, 0.296

Titanium-Dioxide – Substrates (continued)

Orientation:	(100), (110), (001), (111), (421), (111) Other orientations on request Off orientation 2, 3, 5, 10 and 15° Edge orientation is standard
Sizes:	10 * 10 * 0.5/1.0 (mm) 10 * 5 * 0.5/1.0 (mm) 7 * 7 * 0.5/1.0 (mm) 1" * 1" * 0.5/1.0 mm 0.5" * 0.5" * 0.5/1.0 mm 0.25" * 0.25" * 0.5/1.0 mm Ø Up to 1.25"

Other shapes on request

Tolerances:	± 0.02 mm
Polish:	One or two sides epi pol.
Surface quality:	Scratch free at 800 x Measured with Veeco Dektak 8000 Each shipment with certification
Parallelism:	± 0.20
Flatness:	≤ 1 mm /10 mm
Roughness:	Standard $R_a \leq 5 \text{ \AA}$ $R_q \leq 6 \text{ \AA}$ $TIR \leq 35 \text{ \AA}$

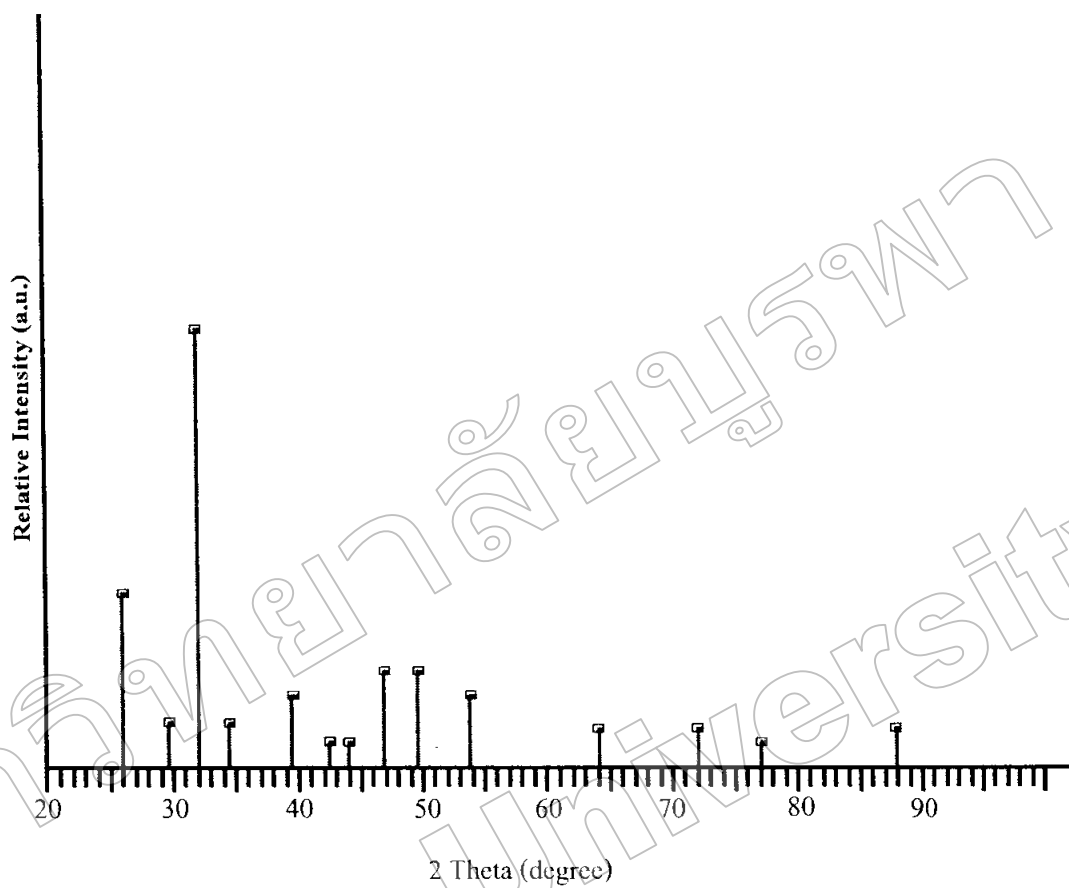
มหาวิทยาลัยบูรพา
Burapha University

ตาราง ก-1 มาตรฐานการเลี้ยวเบนของรังสีเอ็กซ์ของไฮดรอกซีอะพาไทต์

Pattern: 73-1765		Radiation = 1.540600				
TiO ₂ (Rutile/ Titanium Oxide)		d ⁰ (Å)	Intensity (%)	h	k	l
Lattice: Tetragonal		3.24491	100	1	1	0
S.G.:P42/ mmm (136)		Mol. Weight = 79.90				
a = 4.58900		2.48387	46	1	0	1
c = 2.95400		2.29450	6	2	0	0
z = 2		2.18442	17	1	1	1
		2.05226	5	2	1	0
		1.68543	45	2	1	1
		1.62246	14	2	2	0
ICSD COLLECTION CODE: 024277		1.47700	6	0	0	2
TEST FROM ICSD: No R value given		1.45117	6	3	1	0
TEST FROM ICSD: At least one TF missing		1.42208	<1	2	2	1
		1.35835	13	3	0	1
		1.34429	7	1	1	2
		1.30249	1	3	1	1
		1.27276	<1	3	2	0
		1.24194	1	2	0	2
		1.19881	1	2	1	2
		1.16388	3	3	2	1
		1.14725	2	4	0	0
		1.11300	1	4	1	0
		1.09221	4	2	2	2

*Calculated from ICSD using POWD-12++, (1997) primary reference:

*Z. Kristallogr., Kristallgeom., Kristallphys., Kristallchem., volume 104, page 358, (1942)



■ 01-1004 [D] - Hydroxyapatite - $\text{Ca}_{10}(\text{OH})_2(\text{PO}_4)_6 \cdot 10\text{CaO} \cdot 3\text{P}_2\text{O}_3 \cdot \text{H}_2\text{O} \cdot \text{Y}$: 50.00% - dx by : 1.- WI : 1.5406

ภาพ ก-1 รูปแบบกราฟเดี่ยวเบนรังสีเอกซ์มาตรฐานของไฮดรอกซีอะพาไทต์

มหาวิทยาลัยบูรพา
Burapha University

ภาคผนวก ข
ผลงานวิจัยที่ได้รับการตีพิมพ์เผยแพร่

การประชุมเสวนาผลงานวิจัยระดับบัณฑิตศึกษาแห่งชาติ ครั้งที่ 9 วันที่ 14-15 มีนาคม 2551 บัณฑิตวิทยาลัย มหาวิทยาลัยบูรพา

ผลของความต่างศักย์ไบแอสต่อโครงสร้างของฟิล์มไททาเนียมไดออกไซด์ที่เตรียมด้วย รีแอกทีฟ อันบาลานซ์ แมกนีตรอน สปีดเตอริง

EFFECT OF SUBSTRATE BIAS VOLTAGE ON STRUCTURE PROPERTY OF TiO_2 FILMS DEPOSITED BY REACTIVE UNBALANCED MAGNETRON SPUTTERING

อมรรัตน์ คำบุญ, นิรันดร์ วิทิตอนันต์ และสุรสิงห์ ไชยคุณ¹

1. ห้องปฏิบัติการวิจัยเทคโนโลยีสุญญากาศและฟิล์มบาง ภาควิชาฟิสิกส์ คณะวิทยาศาสตร์ มหาวิทยาลัยบูรพา

Amonrat Khambun, Nirun Witit-Anun and Surasing Chaiyakun

1. Department of Physics, Faculty of Science, Burapha University, Bangsaen, Chon Buri, 20131, Thailand

บทคัดย่อ

บทความวิจัยนี้เป็นการรายงานผลการศึกษาลักษณะของความต่างศักย์ไบแอสต่อโครงสร้างของฟิล์มบางไททาเนียมไดออกไซด์ ซึ่งเตรียมด้วยวิธี รีแอกทีฟ อันบาลานซ์ แมกนีตรอน สปีดเตอริง บนแผ่นซิลิกอน จากเป้าสารเคลือบไททาเนียมบริสุทธิ์ อัตราไหลของแก๊สอาร์กอนต่อแก๊สออกซิเจนเท่ากับ 1 ต่อ 4 sccm ที่ความดันรวมขณะเคลือบเท่ากับ 5.0×10^{-3} mbar โดยแปรค่าความต่างศักย์ไบแอสในช่วง 0 V ถึง -150 V ฟิล์มบางทั้งหมดที่เคลือบได้จะนำไปหาโครงสร้างผลึกด้วยเทคนิค XRD ลักษณะพื้นผิว ความหนา และ ความขรุขระด้วยเทคนิค AFM จากการศึกษาพบว่าความต่างศักย์ไบแอสมีผลต่อการเปลี่ยนแปลง ความหนาและความขรุขระของฟิล์มบางไททาเนียมไดออกไซด์ที่เคลือบได้

คำสำคัญ: รีแอกทีฟ อันบาลานซ์ แมกนีตรอน สปีดเตอริง/ ไททาเนียมไดออกไซด์/ ความต่างศักย์ไบแอส

บทนำ

ไททาเนียมไดออกไซด์ (TiO_2) เป็นสารประกอบออกไซด์ชนิดหนึ่งที่น่าสนใจและภาคอุตสาหกรรมให้ความสนใจกันอย่างมากเพราะไททาเนียมไดออกไซด์มีสมบัติน่าสนใจหลายประการ เช่น เป็นฟิล์มใส มีความแข็งแรง ทนต่อการขีดข่วน ทนต่อการกัดกร่อน และทนต่อแรงกด จากสมบัติดังกล่าวข้างต้นจึงนิยมนำฟิล์มบางไททาเนียมไดออกไซด์มาใช้กันอย่างกว้างขวาง เช่น งานด้านทัศนศาสตร์ การเคลือบเพื่อปกป้องผิว การเคลือบกระจกสะท้อนความร้อน (Jin *et al*, 2003) การเคลือบกระจกเพื่อให้อากาศมีสมบัติสามารถทำความสะอาดตัวเองได้ (Tavares *et al*, 2007) หรืองานทางด้านทางการแพทย์ เช่น การเคลือบสแตนเลส (stainless) เพื่อให้มีสมบัติในการเหนียวทำให้เกิดไฮดรอกซีอะปาทิต (hydroxyapatite) ซึ่งมีสมบัติคล้ายกระดูกสำหรับประยุกต์ใช้ในทางการแพทย์ (Suda *et al*, 2006)

ฟิล์มบางไททาเนียมไดออกไซด์มีโครงสร้างผลึก 3 แบบ คือ เฟสอนาเทส (anatase) เฟสรูไทล์ (rutile) และเฟสบรูไกท์ (brookite) โดยเฟสอนาเทสและเฟสรูไทล์มีโครงสร้างผลึกเป็นแบบเตตระโกนอล (tetragonal) ส่วนเฟสบรูไกท์ มีโครงสร้างผลึกเป็นแบบออร์โธโรมบิก (orthorhombic) (Palik, 1991) ปกติแล้วจะไม่พบฟิล์มบางไททาเนียมไดออกไซด์ในเฟสบรูไกท์ จะพบเพียงเฟสรูไทล์ อนาเทส และอสัณฐาน เท่านั้น (Löbl *et al*,

9th National Grad Research Conference 14-15 March 2008, Graduate School, Burapha University

การประชุมเสวนาวิชาการระดับบัณฑิตศึกษาแห่งชาติ ครั้งที่ 9 วันที่ 14-15 มีนาคม 2551 บัณฑิตวิทยาลัย มหาวิทยาลัยบูรพา

1994) อย่างไรก็ตามฟิล์มบางไททานเนียมไดออกไซด์แต่ละเฟสจะเหมาะสมสำหรับการใช้งานที่แตกต่างกัน โดยไททานเนียมไดออกไซด์เฟสอนาเทสไนต์จะเหมาะสำหรับนำไปใช้งานด้าน Photocatalytic ขณะที่เฟสรูไทล์เหมาะสำหรับการใช้งานทางด้านทัศนศาสตร์ (Fukushima *et al.*, 1999) และเนื่องจากไททานเนียมไดออกไซด์เฟสรูไทล์เป็นเฟสที่มีความเสถียรทางเทอร์โมไดนามิกทำให้เริ่มมีการนำมาใช้งานทางการแพทช์มากขึ้น (Svetina *et al.*, 2001)

การเตรียมฟิล์มไททานเนียมไดออกไซด์สามารถทำได้ทั้งจากกระบวนการทางเคมี (chemical vapour deposition; CVD) เช่น เทคนิค sol-gel (Keshmuri and Troczynski, 2003) และกระบวนการทางฟิสิกส์ (physical vapour deposition ; PVD) เช่น เทคนิคสปีดเดอริง (Barnes *et al.*, 2005) อย่างไรก็ตามการเตรียมฟิล์มบางไททานเนียมไดออกไซด์ด้วยเทคนิคสปีดเดอริง มีข้อได้เปรียบคือสามารถคุมอัตราเคลือบและสมบัติของฟิล์มบางได้ง่าย (Zhao *et al.*, 2005) อีกทั้งฟิล์มบางที่ได้มีความหนาแน่นและมีการยึดเกาะดี (Wu *et al.*, 2006) และสามารถประยุกต์ไปสู่การเคลือบชิ้นงานขนาดใหญ่ในระดับอุตสาหกรรมได้ง่าย

ปกติแล้วสมบัติของฟิล์มบางจะเปลี่ยนแปลงหรือขึ้นกับลักษณะเฉพาะของฟิล์มบางนั้นๆ เช่น ความหนา ลักษณะพื้นผิว และการจัดเรียงโครงสร้างผลึก โดยลักษณะเฉพาะของฟิล์มบางเหล่านี้จะเปลี่ยนแปลงไปตามเทคนิคกระบวนการเคลือบ ตลอดจนเงื่อนไขการเคลือบ เช่น ความดันรวม ความดันย่อย กำลังไฟฟ้า การให้ความร้อน และการให้ความต่างศักย์ไบแอส จากการศึกษาของ Song *et al.* (2006) ซึ่งได้ทดลองเคลือบฟิล์มไททานเนียมไดออกไซด์บนกระจกและซิลิกอนโดยให้ความต่างศักย์ไบแอสขณะเคลือบ พบว่าที่ความต่างศักย์ไบแอสค่าฟิล์มมีโครงสร้างผลึกแบบผสมของอนาเทสและรูไทล์ เมื่อความต่างศักย์ไบแอสเพิ่มขึ้นเฟสอนาเทสลดลงขณะที่เฟสรูไทล์เพิ่มขึ้น แต่ที่ความต่างศักย์ไบแอสสูงมากเกินไปจะทำให้โครงสร้างผลึกแบบรูไทล์ของฟิล์มบางถูกทำลายเนื่องจากการชนของไอออนพลังงานสูง ในกระบวนการเคลือบที่ตกลงมาซึ่งผิวหน้าของฟิล์มบาง ทำให้โครงสร้างผลึกของฟิล์มบางเปลี่ยนจาก เฟสรูไทล์มาเป็นอนาเทส นอกจากนี้ Zhang *et al.* (2007) ยังพบว่าเมื่อเคลือบฟิล์มด้วยความต่างศักย์ไบแอสที่มีค่าสูงจะมีผลต่อลักษณะพื้นผิวของฟิล์ม กล่าวคือจะทำให้ความขรุขระของฟิล์มลดลง เนื่องจากเกรนของฟิล์มบางจะมีการรวมตัวกันใหญ่ขึ้นทำให้พื้นผิวฟิล์มบางมีลักษณะราบเรียบ ต่างจากในกรณีเคลือบด้วยความต่างศักย์ไบแอสค่าขนาดของเกรนจะใกล้เคียงกันและกระจายทั่วพื้นผิวฟิล์มบางและมีความขรุขระมากกว่าฟิล์มบางที่เคลือบด้วยความต่างศักย์ไบแอสสูง

บทความวิจัยนี้เป็นการรายงานผลความต่างศักย์ไบแอสที่มีต่อ โครงสร้างของฟิล์มบาง ไททานเนียมไดออกไซด์ที่เตรียมด้วยวิธี รีแอกทีฟ อันบาลานซ์ แมกนีตรอน สปีดเดอริง โดยจะเน้นผลของความต่างศักย์ไบแอสที่มีต่อ โครงสร้างผลึกและลักษณะพื้นผิวของฟิล์มไททานเนียมไดออกไซด์สำหรับเป็นข้อมูลพื้นฐานในงานวิจัยต่อไป

วิธีการวิจัย

ฟิล์มบางไททานเนียมไดออกไซด์ในงานวิจัยนี้เตรียมจากเครื่องเคลือบสุญญากาศระบบ รีแอกทีฟ แมกนีตรอน สปีดเดอริง (รูปที่ 1) โดยภาชนะสุญญากาศของเครื่องเคลือบมีลักษณะเป็นทรงกระบอก เส้นผ่าศูนย์กลาง 310.0 mm สูง 370.0 mm คัดตั้งเป้าไททานเนียมบริสุทธิ์ (99.97%) เส้นผ่าศูนย์กลางที่คาโทดขนาด 54.0 mm ใช้แก๊สอาร์กอนความบริสุทธิ์สูง (99.999%) เป็นสปีดเดอริงแก๊ส และใช้แก๊สออกซิเจนความบริสุทธิ์สูง

การประชุมวิชาการระดับบัณฑิตศึกษาแห่งชาติ ครั้งที่ 9 วันที่ 14-15 มีนาคม 2551 บัณฑิตวิทยาลัย มหาวิทยาลัยบูรพา

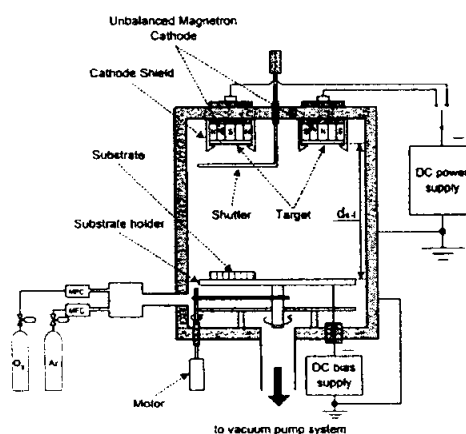
(99.999%) เป็นแก๊สไอพริทริอา ระบบเครื่องสุญญากาศของเครื่องเคลือบประกอบด้วยเครื่องสูบบวมแพรวไอมี่ เครื่องสูบกบล โรตารีเป็นเครื่องสูบท้าย ความดันภายในภาชนะสุญญากาศใช้มาตรวัดความดันของ balzers รุ่น TPG300 โคไซน์หัววัดแบบพีรอนิรุ่น TPR010 และ หัววัดแบบเพนนิ่งรุ่น IKR050 ในส่วนของการจ่ายแก๊ส อาร์กอนและแก๊สออกซิเจนในกระบวนการเคลือบจะควบคุมด้วย mass flow controller ของ MKS รุ่น type247

ขั้นตอนการเคลือบฟิล์มบางไททานเนียมไดออกไซด์เริ่มจากนำแผ่นซิลิกอนที่ผ่านการทำความสะอาด ใสเข้าไปในภาชนะสุญญากาศ แล้วทำการลดความดันภายในภาชนะสุญญากาศให้ได้ความดันพื้น (base pressure) เท่ากับ 3.0×10^{-5} mbar ทำความสะอาดหน้าเป่าสารเคลือบ โดยการสปัตเตอร์หน้าเป่าสารเคลือบ (pre-sputtering) ในบรรยากาศของแก๊สอาร์กอนเป็นเวลา 3 นาที จากนั้นจ่ายความต่างศักย์ไบแอสให้กับวัสดุรองรับ แล้วปล่อย แก๊สอาร์กอนและแก๊สออกซิเจนเข้าสู่ภาชนะสุญญากาศเพื่อทำการเคลือบ ในอัตราส่วนของแก๊ส 1:4 sccm โคไซน์จะเคลือบจะควบคุมความดันรวมให้มีค่าเท่ากับ 5.0×10^{-5} mbar และกำลังไฟฟ้าที่จ่ายให้กับคาโทด เท่ากับ 220 W คงที่ตลอด ความต่างศักย์ไบแอสที่จ่ายให้กับวัสดุรองรับอยู่ในช่วง 0 V ถึง -150 V สำหรับเงื่อนไข การเคลือบดังแสดงในตารางที่ 1

ฟิล์มบางไททานเนียมไดออกไซด์ที่ได้จากการเคลือบทั้งหมดนำไปศึกษาลักษณะเฉพาะ โคไซน์ในส่วน ของการตรวจสอบ โครงสร้างผลึกจะศึกษาด้วยเครื่อง X-ray diffractometer รุ่น Rint 2000 (Rigaku corporation) ส่วนลักษณะพื้นผิว ความหนา และความขรุขระของฟิล์มบางศึกษาด้วยเครื่อง Atomic Force Microscope รุ่น Nanoscope IV (Veeco Instruments Inc.) สำหรับขนาดของเกรน (grain size) ของฟิล์มบางไททานเนียม ไดออกไซด์ หาจากสมการ Scherrer equation (Cullity and Stock, 2001)



(a)



(b)

รูปที่ 1 เครื่องเคลือบในสุญญากาศที่ใช้ในงานวิจัยสำหรับฟิล์มบางไททานเนียมไดออกไซด์

(a) ระบบเคลือบ รีแอกตีฟ แมกนีตรอน สปัตเตอร์ริง

(b) โคอะแกรมของระบบเคลือบ รีแอกตีฟ แมกนีตรอน สปัตเตอร์ริง

ตารางที่ 1 เงื่อนไขการเคลือบฟิล์มบางไททาเนียมไดออกไซด์

เป้าสารเคลือบ	ไททาเนียมบริสุทธิ์ 99.97%
วัสดุรองรับ	แผ่นซิลิกอน
ความดันพื้น	3.0×10^{-5} mbar
ความดันรวม	5.0×10^{-1} mbar
กำลังไฟฟ้า	220 Watt
อัตราไหลแก๊ส Ar : O ₂	F: 4 sccm
ระยะห่างระหว่างเป้าสารเคลือบกับวัสดุรองรับ	12 cm
เวลาเคลือบ	60 min
ความต่างศักย์ไบแอส	0, -50, -100, -150 V

ผลและอภิปรายผลการวิจัย

ผลของความต่างศักย์ไบแอสต่อโครงสร้างผลึก

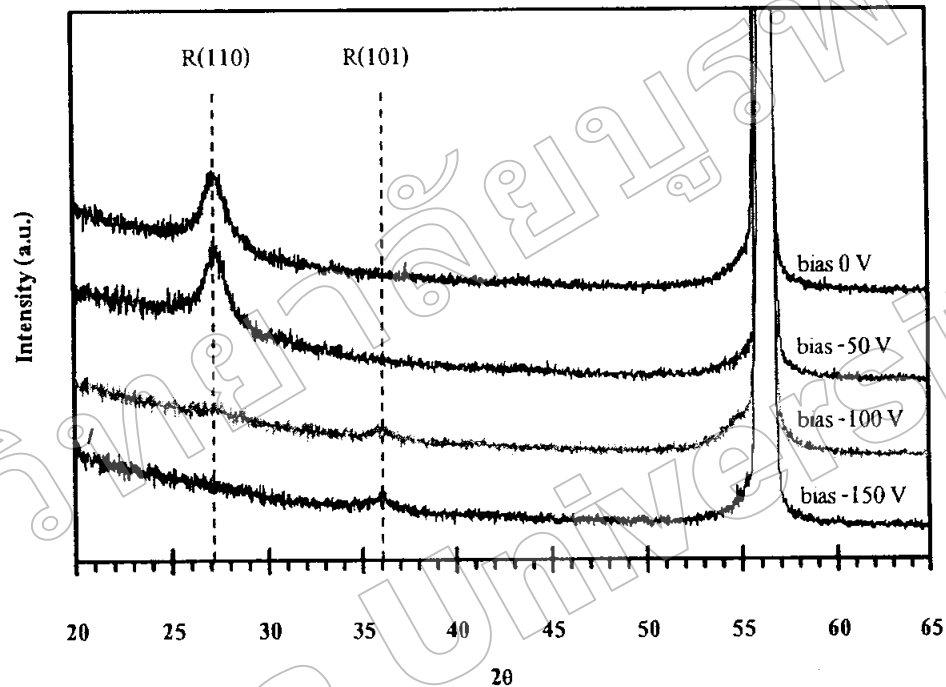
รูปที่ 2 เป็นรูปแบบการเลี้ยวเบนรังสีเอกซ์ของฟิล์มบางไททาเนียมไดออกไซด์ที่เคลือบได้เมื่อใช้ความต่างศักย์ไบแอสเท่ากับ 0 V ถึง -150 V พบว่าฟิล์มบางที่เคลือบด้วยความต่างศักย์ไบแอสเท่ากับ 0 V และ -50 V มีรูปแบบการเลี้ยวเบนรังสีเอกซ์ที่มุม 2 θ เท่ากับ 27.5° ซึ่งเมื่อเทียบกับพิกมาครฐานของ JCPDS พบว่าตรงกับพีคของไททาเนียมไดออกไซด์เฟสรูไทล์ระนาบ (110) ขณะที่ฟิล์มที่เคลือบด้วยความต่างศักย์ไบแอสเท่ากับ -100 V และ -150 V พบรูปแบบการเลี้ยวเบนรังสีเอกซ์ที่มุม 2 θ เท่ากับ 36.1° ซึ่งเมื่อเทียบกับพิกมาครฐานพบว่าตรงกับพีคของไททาเนียมไดออกไซด์เฟสรูไทล์ระนาบ (101)

จากผลการศึกษาในงานวิจัยนี้จะเห็นว่าความต่างศักย์ไบแอสมีผลทำให้เฟสหรือโครงสร้างผลึกของฟิล์มบางไททาเนียมไดออกไซด์เปลี่ยนไป เมื่อเคลือบฟิล์มบางไททาเนียมไดออกไซด์โดยไม่จ่ายความต่างศักย์ไบแอสพบฟิล์มบางไททาเนียมไดออกไซด์เฉพาะเฟสรูไทล์ (110) และเมื่อความต่างศักย์ไบแอสเพิ่มขึ้นเป็น -100 V และ -150 V พบว่าฟิล์มบางไททาเนียมไดออกไซด์เฟสรูไทล์ (110) หายไป แต่เกิดฟิล์มบางไททาเนียมไดออกไซด์เฟสรูไทล์ (101) แทน นอกจากนี้ยังพบว่าฟิล์มบางไททาเนียมไดออกไซด์เฟสรูไทล์ (101) ที่ได้มีความเป็นผลึกน้อยกว่าฟิล์มบางไททาเนียมไดออกไซด์เฟสรูไทล์ (110) อีกด้วย เนื่องจากความต่างศักย์ไบแอสที่จ่ายให้กับวัสดุรองรับจะ ไปดึงไอออนพลังงานต่ำของแก๊สอาร์กอนลงมาระดมยิงอะตอมของสารเคลือบบนวัสดุรองรับขณะที่กำลังฟอร์มตัวเป็นชั้นของฟิล์มบาง ทำให้อะตอมสารเคลือบมีความสามารถในการเคลื่อนที่มากขึ้น ส่งผลให้ฟิล์มบางที่ได้มีความเป็นระเบียบและมีความเป็นผลึกมากขึ้น สอดคล้องกับงานวิจัยของ Song *et al* (2006) แต่อย่างไรก็ดีเมื่อจ่ายความต่างศักย์ไบแอสสูงเพิ่มขึ้นเกินค่าที่เหมาะสม โครงสร้างผลึกของฟิล์มบางที่เคลือบได้จะถูกทำลาย เนื่องจากความต่างศักย์ไบแอสที่สูงขึ้นจะทำให้ไอออนของแก๊สอาร์กอนที่อะตอมของสารเคลือบนั้นมีพลังงานสูงขึ้นไปทำลายความเป็นผลึกของฟิล์มบางที่เคลือบได้นั่นเอง

สำหรับขนาดเกรนของฟิล์มบางไททาเนียมไดออกไซด์ที่เคลือบได้ พบว่าฟิล์มบางไททาเนียมไดออกไซด์ มีขนาดใกล้เคียงกัน โดยฟิล์มบางไททาเนียมไดออกไซด์ที่เคลือบด้วยความต่างศักย์ไบแอส 0 V และ -50 V เฟสรูไทล์ (110) มีขนาดเกรนเท่ากับ 5.62 nm และ 4.21 nm ตามลำดับ ส่วนฟิล์มบางไททาเนียมไดออกไซด์

ภาพประชุมออนไลน์งานวิจัยระดับบัณฑิตศึกษาแห่งชาติ ครั้งที่ 9 วันที่ 14-15 มีนาคม 2551 บัณฑิตวิทยาลัย มหาวิทยาลัยบูรพา

ที่เคลือบด้วยความต่างศักย์ไบแอส -100 V และ -150 V ขนาดเกรนเท่ากับ 5.98 nm และ 5.82 nm ตามลำดับ ซึ่งสอดคล้องกับงานวิจัยของ Uvarov และ Popov (2007)

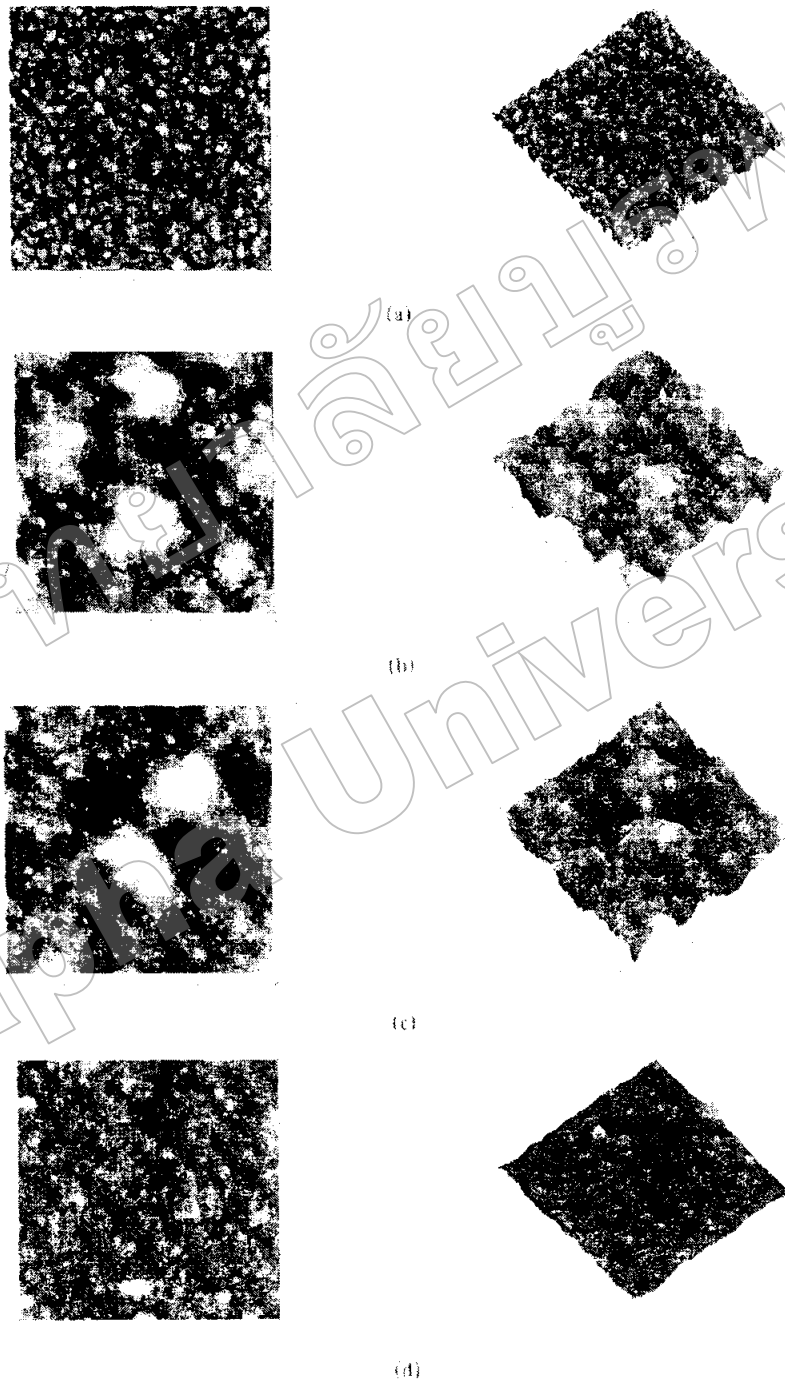


รูปที่ 2 รูปแบบการเลี้ยวเบนรังสีเอกซ์ของฟิล์มบางไททาเนียมไดออกไซด์ที่เคลือบด้วยความต่างศักย์ไบแอส 0 V ถึง -150 V

ตารางที่ 2 ขนาดเกรนของฟิล์มบางไททาเนียมไดออกไซด์ที่ค่าความต่างศักย์ไบแอสต่างกัน

ความต่างศักย์ ไบแอส (V)	ขนาดเกรนของฟิล์มบางไททาเนียมไดออกไซด์ (nm)	
	รูไทล์ (110)	รูไทล์ (101)
0	5.62	-
-50	4.21	-
-100	-	5.98
-150	-	5.82

รูปที่ 3 ผลลัพธ์การประมวลผลของภาพต้นฉบับด้วยเทคนิคการกรองแบบอนุกรมของฟิลเตอร์การกรองแบบอนุกรม



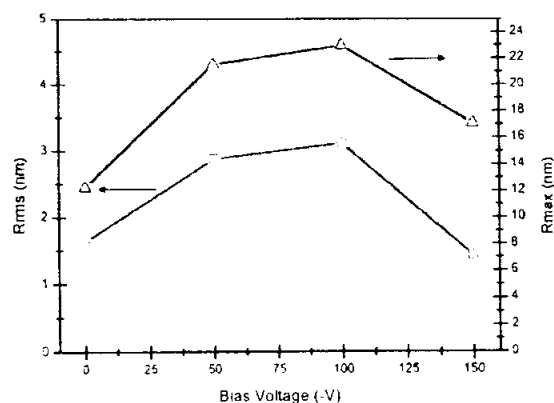
รูปที่ 3 ผลลัพธ์การประมวลผลของภาพต้นฉบับด้วยเทคนิคการกรองแบบอนุกรมของฟิลเตอร์การกรองแบบอนุกรม
(a) ภาพต้นฉบับ (b) ภาพต้นฉบับที่ผ่านการกรองด้วยฟิลเตอร์การกรองแบบอนุกรม

ผลของความต่างศักย์ไบแอสต่อลักษณะพื้นผิว

ฟิล์มบางไททาเนียมไดออกไซด์ที่เคลือบได้ในงานวิจัยนี้มีความหนาอยู่ในช่วง 80 nm ถึง 89 nm จากการศึกษพบว่าเมื่อความต่างศักย์ไบแอสเพิ่มขึ้นความหนาของฟิล์มลดลง เนื่องจากความต่างศักย์ไบแอสเพิ่มขึ้นจะทำให้เกิดปรากฏการณ์สปัตเตอริงซ้ำ (re-sputtering) ซึ่งเป็นปรากฏการณ์ที่ไอออนจากพลาสมาในกระบวนการเคลือบระดมยิงฟิล์มที่กำลังฟอร์มตัวบนผิวหน้าวัสดุรองรับแล้วหลุดออกไปและทำให้ฟิล์มที่เคลือบได้มีความหนาลดลงสอดคล้องกับงานวิจัยของ Jiang *et al* (2004)

รูปที่ 3 เป็นผลวิเคราะห์ลักษณะพื้นผิวของฟิล์มบางไททาเนียมไดออกไซด์ที่เคลือบด้วยความต่างศักย์ไบแอสในช่วง 0 V ถึง -150 V ด้วยเทคนิค AFM ผลการศึกษพบว่าฟิล์มบางที่เคลือบด้วยความต่างศักย์ไบแอสเท่ากับ 0 V สลักของฟิล์มมีขนาดใกล้เคียงกันกระทั่งทั่วพื้นผิวของฟิล์มดังรูปที่ 3 (a) สำหรับฟิล์มบางเคลือบที่ความต่างศักย์ไบแอส -50 V และ -100 V สลักของฟิล์มบางเริ่มมีการรวมตัวกันเป็นก้อนใหญ่ขึ้นในบางบริเวณดังแสดงในรูปที่ 3 (b) และ (c) ส่วนฟิล์มบางที่เคลือบด้วยความต่างศักย์ไบแอส -150 V พื้นผิวของฟิล์มบางจะมีลักษณะค่อนข้างราบเรียบเป็นเนื้อเดียวกันเนื่องจากสลักของฟิล์มบางมีการรวมตัวกันอย่างต่อเนื่อง ดังแสดงในรูปที่ 3 (d) จากผลการศึกษจะเห็นว่าเมื่อฟิล์มบางที่เคลือบด้วยความต่างศักย์ไบแอสสูง การฟอร์มตัวของสลักฟิล์มบางจะมีความเป็นระเบียบมากขึ้น ทำให้พื้นผิวของฟิล์มบางมีความเรียบเพิ่มขึ้น สอดคล้องกับงานวิจัยของ Zhang *et al* (2007)

สำหรับความขรุขระของฟิล์มบางไททาเนียมไดออกไซด์ที่เคลือบด้วยความต่างศักย์ไบแอสในช่วง 0 V ถึง -150 V แสดงได้ดังรูปที่ 4 พบว่าเมื่อความต่างศักย์ไบแอสเพิ่มขึ้นค่า R_{rms} และค่า R_{max} ลดลง ซึ่งฟิล์มบางที่เคลือบด้วยความต่างศักย์ไบแอสเพิ่มขึ้นจาก 0 V เป็น -50 V มีค่า R_{rms} และค่า R_{max} มากที่สุด ส่วนฟิล์มบางที่เคลือบด้วยความต่างศักย์ไบแอสในช่วง -100 V และ -150 V ค่า R_{rms} และค่า R_{max} ลดลง สอดคล้องกับงานวิจัยของ Zhang *et al* (2007) ได้อธิบายว่าที่ความต่างศักย์ไบแอสต่ำพื้นผิวของฟิล์มบางมีความขรุขระมากเนื่องจากอะตอมของสารเคลือบมีเวลาในการเคลื่อนที่ไปยังบริเวณพื้นผิวที่มีพลังงานต่ำสุด จากนั้นบริเวณพื้นผิวที่มีพลังงานต่ำสุดจะถูกปกคลุมไปด้วยอะตอมสารเคลือบที่ตกเคลือบถัดมา ดังนั้นพื้นผิวของฟิล์มจึงมีความขรุขระและมีความหนาแน่นต่ำ และเมื่อความต่างศักย์ไบแอสเพิ่มขึ้นทำให้พื้นผิวของฟิล์มมีความขรุขระลดลงเนื่องจากการระดมยิงของไอออนสารเคลือบและการสปัตเตอริง



รูปที่ 4 ค่า R_{rms} และ R_{max} ของฟิล์มบางไททาเนียมไดออกไซด์ต่อค่าความต่างศักย์ไบแอส ในช่วง 0 ถึง -150 V

สรุปผลการวิจัย

งานวิจัยนี้ได้เตรียมฟิล์มบางไททานเนียมไดออกไซด์ด้วยวิธี รีแอกตีฟ แมกนีตรอน สเปคโตรริงบนซิลิกอน โดยแปรค่าความต่างศักย์ไบแอสที่จ่ายให้กับวัสดุรองรับ จากการศึกษาพบว่าฟิล์มบางไททานเนียมไดออกไซด์ที่เคลือบได้มีความหนาในช่วง 80 - 89 nm ขนาดเกรนของฟิล์มบางไททานเนียมไดออกไซด์มีค่าประมาณ 4.21 - 5.98 nm โครงสร้างผลึกของฟิล์มบางที่เคลือบได้เมื่อศึกษาด้วยเทคนิค XRD พบว่าความต่างศักย์ไบแอสมีผลต่อการเปลี่ยนเฟสของฟิล์มบางไททานเนียมไดออกไซด์ โดยฟิล์มบางที่เคลือบด้วยความต่างศักย์ไบแอสเท่ากับ 0 V และ -50 V จะพบพีคของเฟสรูไทล์เฉพาะที่ระนาบ (110) และมีความเป็นผลึกสูงที่สุด ส่วนที่ความต่างศักย์ศักย์ไบแอส -100 V และ -150 V เฟสของรูไทล์ที่ระนาบ (110) จะหายไปแค่กับพบพีคของเฟสรูไทล์ที่ระนาบ (101) แทน ส่วนผลของความต่างศักย์ไบแอสต่อความหนาและความขรุขระของฟิล์มบางพบว่าเมื่อความต่างศักย์ไบแอสเพิ่มขึ้นทำให้ค่าความขรุขระและความหนาลดลง

รายการอ้างอิง

- Barnes, M.G., S. Kumar, L. Green, N.M. Hwang, and A.R. Gerson. (2005). The mechanism of low temperature deposition of crystalline anatase by reactive DC magnetron sputtering. *Surface & Coatings Technology* 57, 967-971.
- BarDOS, L., Barankova, H., and L.-E.Gustavsson. (2006). Effect of substrate material and bias on properties of TiN films deposited in the hybrid plasma reactor, *Vacuum Surfaces and Films*, 24, 1655-1659.
- Cullity, B.D., & Stock, S.R. (2001). *Elements of X-ray Diffraction*. United States of America: Printed.
- Fukushima, A., Hashimoto, K., and Watanabe, T. (1999). *TiO₂ Photocatalysis-Fundamentals and Applications*. Tokyo of Japan: BKC.
- Jiang, N., Zhang, H.J., Bao, S.N., Shen, Y.G., and Zhou, Z.F. (2004). XPS study for reactively sputtered titanium nitride thin films deposited under different substrate bias. *Physica, B* 352, p 120.
- Jin, P., Miao, L., Tanemura, S., Xu, G., Tazawa, M., and Yoshimura, K. (2003). Formation and characterization of TiO₂ thin films with application to a multifunctional heat mirror. *Applied Surface Science*, 212-213, 775-781.
- Keshmiri and Troczynski. (2003). Apatite formation on TiO₂ anatase microspheres. *Non-Crystalline Solids*, 324, 289-294.
- Kim, D.J., Hahn, S.H., Oh, S.H., and Kim, E.J. (2002). Influence of calcination temperature on structural and optical thin films prepared by sol-gel dip coating properties of TiO₂. *Materials Letters*, 57, 355-360.
- Löbl, P., Huppertz, M., and Mergel, D. (1994). Nucleation and growth in TiO₂ films prepared by sputtering and evaporation. *Thin Solid Films*, 251, 72.
- Palik, E.D. (1991). *Handbook of Optical Constants of Solid II*. Boston of America: Academic Press.
- Song, P.K., Irie, Y., and Shigesato, Y. (2006). Crystallinity and photocatalytic activity of TiO₂ films deposited by reactive sputtering with radio frequency substrate bias. *Thin Solid Films*, 496, 121-125.

การประชุมสัมมนาของบัณฑิตวิทยาลัยระดับบัณฑิตศึกษาแห่งชาติ ครั้งที่ 9 วันที่ 14-15 มีนาคม 2551 บัณฑิตวิทยาลัย มหาวิทยาลัยบูรพา

- Suda, Y., Kawasaki, H., Ohshima, T., Nakashima, S., Kawazoe, S., and Toma, T. (2006). Hydroxyapatite coatings on titanium dioxide thin films prepared by pulsed laser deposition method. *Thin Solid Films*, 506–507, 115–119.
- Svetina, M., Colombi Ciacchi, L., Sbaizero, O., Meriani, S., and Devita, A. (2001). Deposition of Calcium Ions on Rutile (110): A first-Principles Investigation. *Acta Mater.*, 49, 2169–2177.
- Tavares, C. J., Vieira, J., Rebouta, L., Hungerford, G., Coutinho, P., Teixeira, V., Carneiro, J.O., and Fernandes, A.J. (2007). Reactive sputtering deposition of photocatalytic TiO₂ thin films on glass substrates. *Materials Science and Engineering*, 138, 139–143.
- Uvarov, I., and Popov, V. (2007). Metrological characterization of X-ray diffraction methods for determination of crystallites in nano-scale materials. *Materials Characterization*, 58, 883–891.
- Wu, K.R., Wang, J.J., Liu, W.C., Chen, Z.S., and Wu, J.K. (2006). Deposition of graded TiO₂ films featured both hydrophobic and photo-induced hydrophilic properties. *Applied Surface Science* 255, 5829–5838.
- Zhang, M., Lin, G., Dong, C., and Wen, L. (2007). Amorphous TiO₂ films with high refractive index deposited by pulsed bias arc ion plating. *Surface & Coatings Technology*, 201, 7252 – 7258.
- Zhao, X.T., Sakka, K., Kihara, N., Takada, Y., Arita, M., and Masuda, M. (2005). Structure and photo-induced features of TiO₂ thin films prepared by RF magnetron sputtering. *Microelectronics Journal*, 36, 549–551.